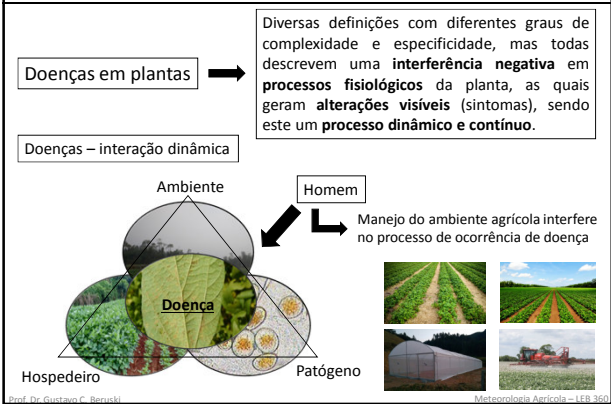
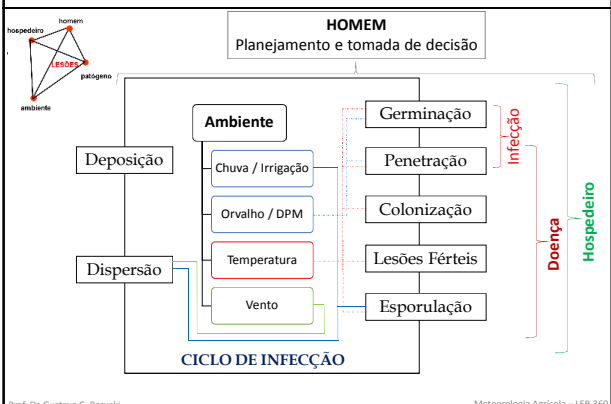


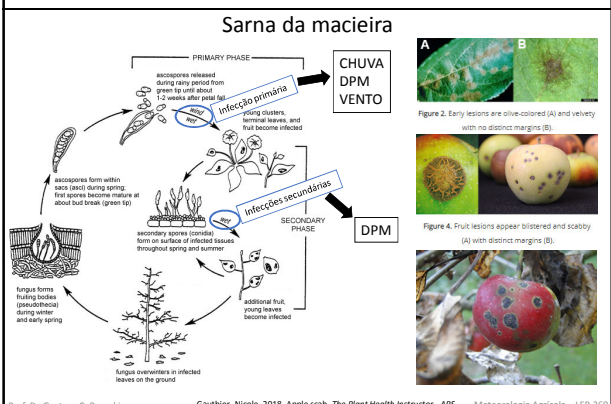
Doenças em plantas cultivadas



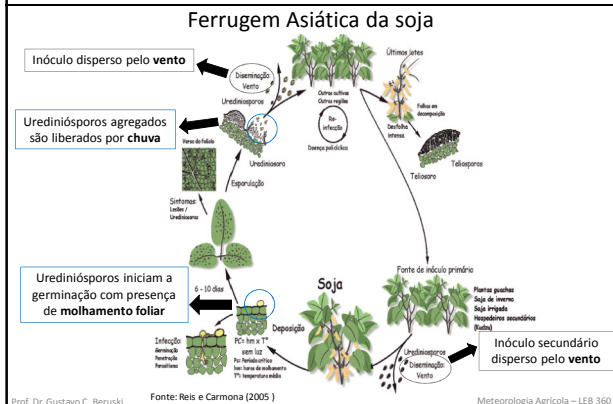
Interação – Patógeno / Hospedeiro / Ambiente



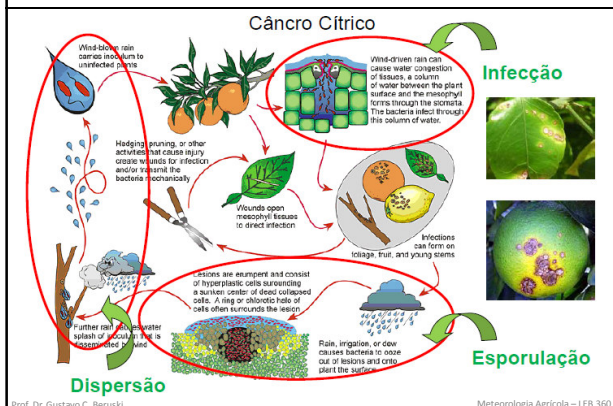
Exemplo – Patógeno / Hospedeiro / Ambiente



Exemplo – Patógeno / Hospedeiro / Ambiente



Exemplo – Patógeno / Hospedeiro / Ambiente



Exemplo – Patógeno / Hospedeiro / Ambiente

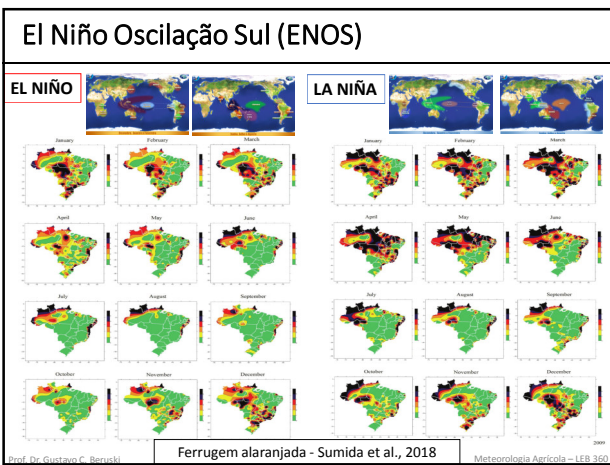
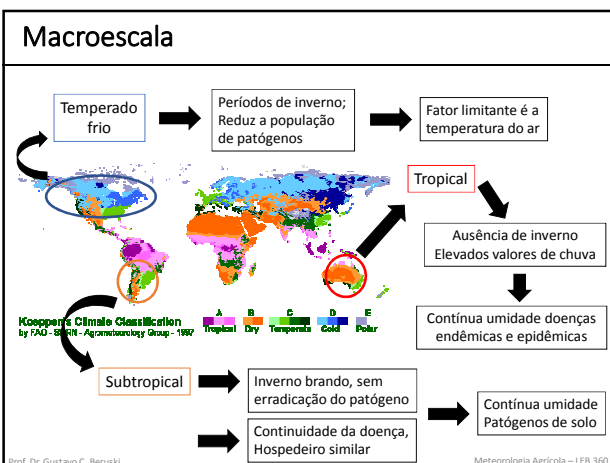
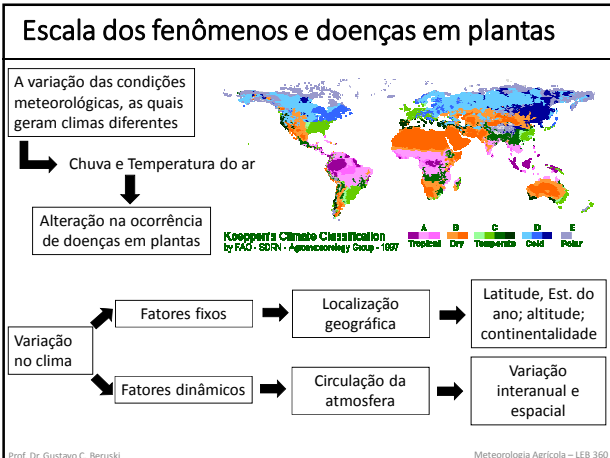
Cada patossistema requer condições ambientais diferentes para seu estabelecimento – fases mais importantes germinação e penetração

Analisando a DPM de diferentes doenças e fases do seu desenvolvimento

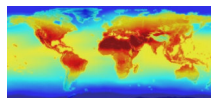
| DPM | Inoculação | Germinação | Colonização | Esporulação | |
|-------|------------|------------|-------------|-------------|-------------|
| Alta | | | | | Antracnoses |
| Baixa | | | | | |
| Alta | | | | | Mildios |
| Baixa | ■ | | | | |
| Alta | | | | | Ferrugens |
| Baixa | ■ | | | | |
| Alta | | | | | Oídios |
| Baixa | | | | | Vírus |

Prof. Dr. Gustavo C. Beruski

Meteorologia Agrícola – LEB 360

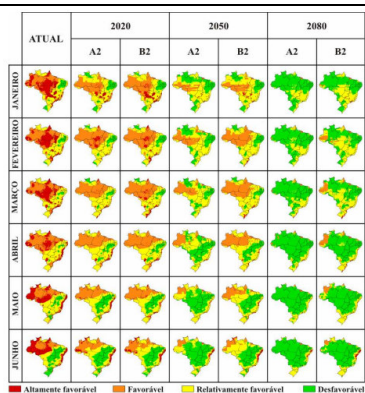


Variabilidade, Anomalia e Mudança climática



Moraes et al., 2011

Efeito das mudanças climáticas sobre a distribuição espacotemporal da favorabilidade a ferrugem da cana-de-açúcar no Brasil, predita para os meses de janeiro a junho nas décadas futuras (2020, 2050 e 2080) em ambos cenários (A2 e B2).



■ Altamente favorável ■ Favorável ■ Relativamente favorável ■ Desfavorável
Meteorologia Agrícola – LEB 360

Prof. Dr. Gustavo C. Beruski

Mesoescala - Topoescala

Topografia:

- Exposição (N, S, E ou W);
- Configuração (vale, espião, meia ou encosta);
- Grau de inclinação do terreno.



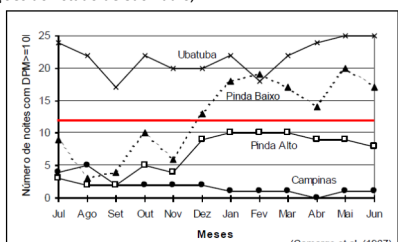
Prof. Dr. Gustavo C. Beruski

Meteorologia Agrícola – LEB 360

Mesoescala - Topoescala

Camargo et al. (1967)

- Mal das folhas (*Microcyclus ulei*) em seringueira, em diferentes regiões e condições do Estado de São Paulo,



Só foi observada a doença quando houve mais de 12 noites, no mês, com DPM ≥ 10 horas

Prof. Dr. Gustavo C. Beruski

Meteorologia Agrícola – LEB 360

Microescala

- Cobertura do terreno:

- Solo nu, gramado, floresta, cultura rasteira, represa.

- Práticas de manejo:

- Irrigação, adensamento de plantio, cultivo protegido.



Prof. Dr. Gustavo C. Beruski

Meteorologia Agrícola – LEB 360

Práticas agrícolas na ocorrência de doenças

Cobertura do terreno

Pires et al. (2007)

Soil mulches in relation to strawberry diseases



| Items | Number and percentage of wilted and/or stunted plants per plot (3.6 m ²) | | | |
|---------------|--|------|--------------------------|------|
| | October 2 nd | | October 27 th | |
| | Number | % | Number | % |
| Soil mulches | | | | |
| Clear plastic | 2.2 B | 3.2 | 7.4 B | 10.9 |
| Black plastic | 7.1 A | 10.4 | 18.3 A | 26.9 |

| Fungi identified | Occurrence (%) | Level of Intensity * |
|---------------------------------|----------------|----------------------|
| <i>Rhizoctonia</i> spp. | 83.0 | ++ |
| <i>Vetricillium dahliae</i> | 58.3 | +++ |
| <i>Fusarium</i> spp. | 58.3 | ++ |
| <i>Colletotrichum fragariae</i> | 50.0 | ++ |
| <i>Pythium</i> spp. | 8.3 | + |
| <i>Phytophthora cactorum</i> | 8.3 | + |

* +++ fungus isolated and observed predominantly in most samples examined; ++ fungus isolated with medium frequency; + fungus isolated with low frequency.

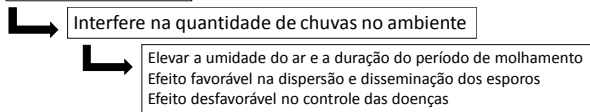


Prof. Dr. Gustavo C. Beruski

Meteorologia Agrícola – LEB 360

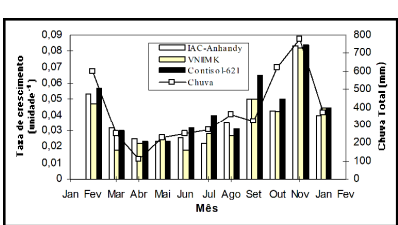
Práticas agrícolas na ocorrência de doenças

Época de semeadura



Sentelhas et al., 1996

Severidade de mancha de Alternária (*A. helianthii*)



Prof. Dr. Gustavo C. Beruski

Meteorologia Agrícola – LEB 360

Práticas agrícolas na ocorrência de doenças

Sistemas de irrigação

Rosli et al. - In progress

Precipitation (rainfall and irrigation systems) impacts dissemination of three sooty blotch and flyspeck taxa on apple fruit



Irrigation treatments at Iowa State University Horticulture Research Station in 2015 and 2016.

| | Irrigation treatment | | | | |
|--|----------------------|-------------|-------------|-------------|----------------------|
| | 1 | 2 | 3 | 4 | 5 |
| Irrigation timing | 8 pm – 8 am | 2 am – 8 am | 2 am – 8 am | 5 am – 8 am | Ambient ^a |
| Total irrigation hour | 12 | 12 | 6 | 6 | - |
| Irrigation interval (min) ^b | 60 | 30 | 60 | 30 | - |
| Total irrigation event ^c | 12 | 12 | 6 | 6 | - |

^aNatural rain and dew.

^bIrrigation applied every 30 or 60 minutes within the time of irrigation.

^cEach irrigation period lasted for 1 minute for all irrigation treatments.

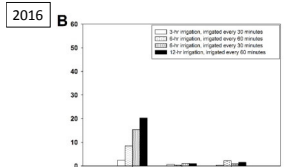
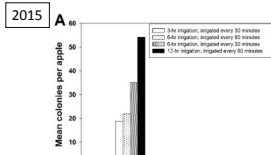
Prof. Dr. Gustavo C. Beruski

Meteorologia Agrícola – LEB 360

Práticas agrícolas na ocorrência de doenças

Cumulative ambient rainfall and leaf wetness duration for irrigation treatments at Iowa State University Horticulture Research Station in 2015 and 2016

| Category and input | Year | |
|--|--------|--------|
| | 2015 | 2016 |
| Cumulative rainfall (mm) ^a | 394.5 | 503.9 |
| Leaf wetness duration (hour) for each irrigation regime ^b | | |
| 1 | 904.4 | 912.1 |
| 2 | 929.6 | 957.7 |
| 3 | 941.1 | 856.9 |
| 4 | 1042.9 | 1146.9 |
| 5 | 827.1 | 771.4 |

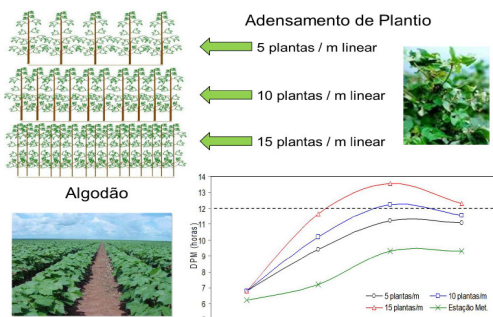


Prof. Dr. Gustavo C. Beruski

Meteorologia Agrícola – LEB 360

Práticas agrícolas na ocorrência de doenças

Espaçamento entrelinhas e população de plantas



Prof. Dr. Gustavo C. Beruski

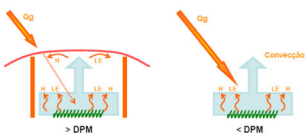
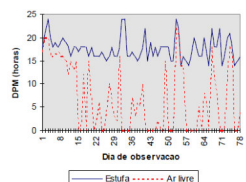
Meteorologia Agrícola – LEB 360

Práticas agrícolas na ocorrência de doenças

Cultivo protegido

Modificações microclimáticas

Pezzopane et al. (1995):
Manejo diário das cortinas laterais, a DPM dentro da estufa sempre foi maior ou igual à observada ao ar livre.



Alteração positiva – Túnel alto reduzindo a DPM

| Ano Agrícola | Com cobertura plástica | | | |
|--------------|------------------------|--------------|-----------|-------------------|
| | Antracose cacho | Híldio cacho | Podridões | Mancha das folhas |
| 2006/07 | 3 | 3 | 3 | 37 |
| 2007/08 | 0 | 0 | 3 | 46 |
| Ano Agrícola | Sem cobertura plástica | | | |
| | Antracose cacho | Híldio cacho | Podridões | Mancha das folhas |
| 2006/07 | 24 | 28 | 61 | 35 |
| 2007/08 | 2 | 2 | 52 | 51 |

Hernandes et al., (2008)
Meteorologia Agrícola – LEB 360

Medidas e estimativas variáveis ambientais

Medida da Temperatura do ar



- Sensores - termômetros, termopares e termistors;
- Instalados em um abrigo meteorológico;
- Altura de 1,5 – 2,0 m, em área plana e gramada.

Medida do Molhamento (DPM)



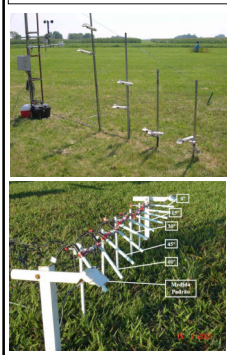
- Sensores eletrônicos;
- Medida mais complexa;
- Depende:
 - Condições meteorológicas;
 - Características da cultura.

Prof. Dr. Gustavo C. Beruski

Meteorologia Agrícola – LEB 360

Medidas da duração do molhamento

Sentelhas et al., 2004a, b.



Especificações:

- Sensores pintados com tinta branca;
- Altura de 30 cm em superfície gramada;
- No topo do dossel em culturas agrícolas;
- Sensor de placa com um ângulo de 45°;
- Sensor cilíndrico com ângulo de 30°;
- Orientação de instalação para o Sul:
 - Condições de maior umidade e menor temperatura;
 - Maior favorabilidade de doenças.

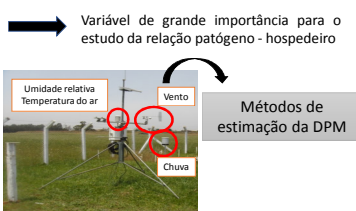
Prof. Dr. Gustavo C. Beruski

Meteorologia Agrícola – LEB 360

Estimativa da DPM



99% - Estações meteorológicas não apresentam sensores de DPM



Variável de grande importância para o estudo da relação patógeno - hospedeiro

Métodos de estimativa da DPM

- Métodos diferentes complexidades e tipos:

- Equações de regressões lineares simples e múltiplas:
 - Modelos empíricos.
- Complexos que envolvem o balanço de energia da cultura:
 - Modelos físicos.
 - Modelos mistos.

Prof. Dr. Gustavo C. Beruski

Meteorologia Agrícola – LEB 360

NHUR $\geq 90\%$

Número de Horas com UR $\geq 90\%$ (NHUR $\geq 90\%$)
Molhamento presente quando UR $\geq 90\%$

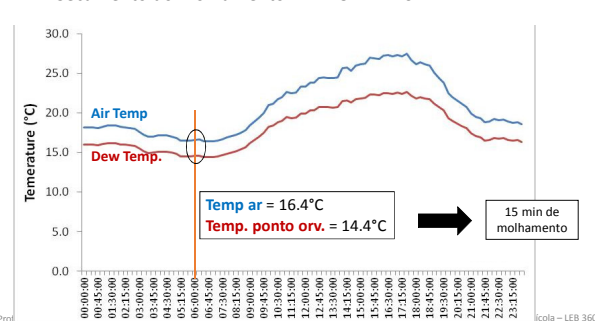


Prof. Dr. Gustavo C. Beruski

Meteorologia Agrícola – LEB 360

DPO

Depressão do Ponto do Orvalho (DPO) \rightarrow DPO = Tar – To
- Molhamento presente \rightarrow DPO $< 1.8^{\circ}\text{C}$;
- Secamento do molhamento \rightarrow DPO $> 2.2^{\circ}\text{C}$



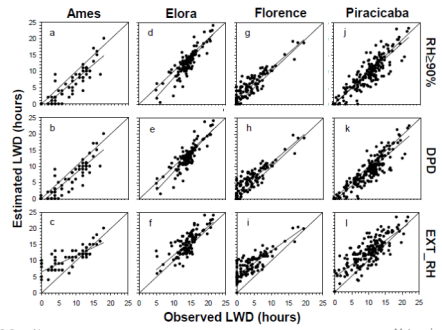
Prof. Dr. Gustavo C. Beruski

Meteorologia Agrícola – LEB 360

Avaliação de modelos empíricos

Sentelhas, et al., 2008

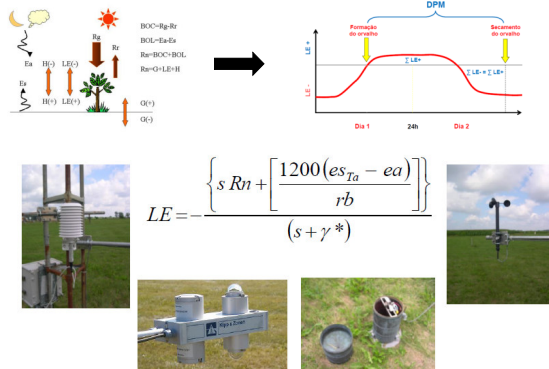
Suitability of relative humidity as an estimator of leaf wetness duration



Prof. Dr. Gustavo C. Beruski

Meteorologia Agrícola – LEB 360

Modelo de Penman-Monteith



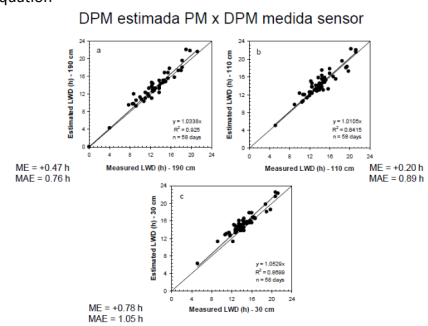
Prof. Dr. Gustavo C. Beruski

Meteorologia Agrícola – LEB 360

Avaliação de modelo físico

Sentelhas, Gillespie, 2008

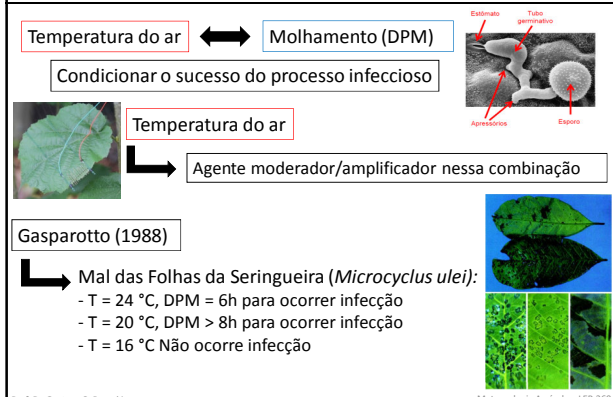
Estimating hourly net radiation for leaf wetness duration using the Penman-Monteith equation



Prof. Dr. Gustavo C. Beruski

Meteorologia Agrícola – LEB 360

Modelagem agrometeorológica de doenças de plantas

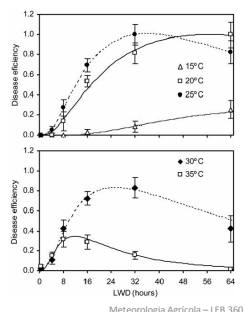


Modelagem agrometeorológica de doenças de plantas

Monteiro et al. (2009)

Development of Ramulosis Disease of Cotton Under Controlled Environment and Field Conditions

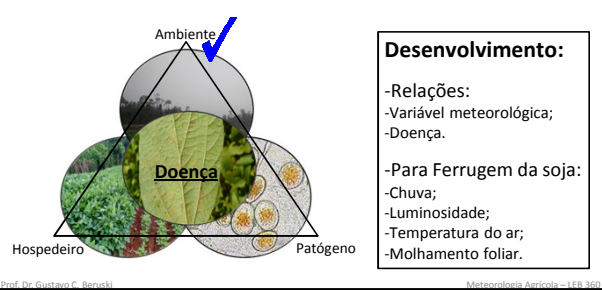
-
- T = 15°C, não ocorre
 - T = 20°C, ocorre com 50 horas de DPM
 - T = 25°C, ocorre com 30 horas de DPM
 - T = 30°C, ocorre com 20 horas de DPM
 - T = 40°C, não ocorre



Sistema de alerta fitossanitário

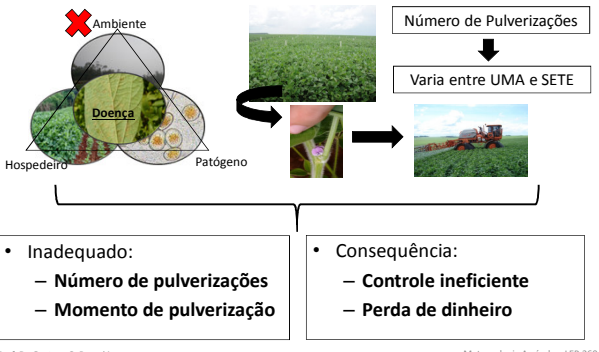
Gleason et al. (2008):

Ferramentas de decisão que auxiliam produtores no manejo de doenças; Princípio de que os sintomas da doença que a planta apresenta são resultado do processo de INFECÇÃO que ocorreu em um período anterior



Sistema de alerta fitossanitário

Controle convencional da ferrugem da soja no Brasil



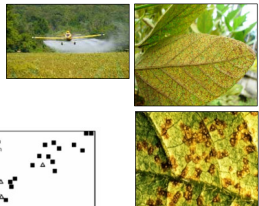
Prof. Dr. Gustavo C. Beruski

Meteorologia Agrícola – LEB 360

Sistema de alerta para ferrugem da soja

Del Ponte et al. (2006):

Predição da severidade da ferrugem;
Número de eventos e acumulados de chuva após a detecção da doença.



$$VDS = (SEV_1 * 0,7) + (SEV_2 * 0,3)$$

$$SEV_1 = -2,1433 + 0,1811 * (PREC_{0-15}) + 1,2865 * (DP_{0-15})$$

$$SEV_2 = -2,1433 + 0,1811 * (PREC_{16-30}) + 1,2865 * (DP_{16-30})$$

Prof. Dr. Gustavo C. Beruski

Meteorologia Agrícola – LEB 360

Sistema de alerta para ferrugem da soja

$$VDS = (SEV_1 * 0,7) + (SEV_2 * 0,3)$$

$$SEV_1 = -2,1433 + 0,1811 * (PREC_{0-15}) + 1,2865 * (DP_{0-15})$$

$$SEV_2 = -2,1433 + 0,1811 * (PREC_{16-30}) + 1,2865 * (DP_{16-30})$$



Indicação de necessidade de pulverização

→ VDS crítico → média de três dias → limiares de ação

| Critério | Pulverizações | | | |
|------------------------------|---------------|----|----|------------|
| | 1º | 2º | 3º | 4º ou mais |
| VDS médio de três dias (%) | | | | |
| Limiar 1 – Menos conservador | 80 | 60 | 55 | 50 |
| Limiar 2 – Mais conservador | 50 | 45 | 35 | 30 |

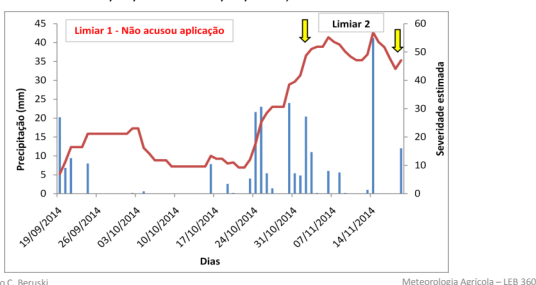
Prof. Dr. Gustavo C. Beruski

Meteorologia Agrícola – LEB 360

Sistema de alerta para ferrugem da soja

Simulações:

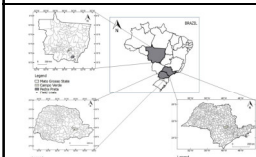
Rondonópolis, MT;
Dados meteorológicos – Chuva e Frequência de chuva;
Instituto Nacional de Meteorologia (INMET);
Período de 19/09/2014 até 19/11/2014;



(Prof. Dr. Gustavo C. Beruski)

Meteorologia Agrícola – LEB 360

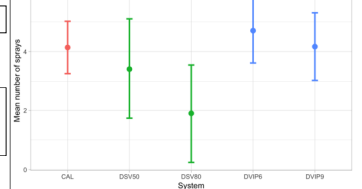
Sistema de alerta para ferrugem da soja



Número de pulverizações

Uso do sistema de alerta

Maior variabilidade
comparado ao sistema
calendarizado



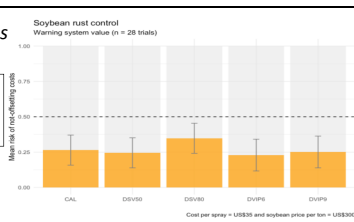
(Prof. Dr. Gustavo C. Beruski)

Meteorologia Agrícola – LEB 360

Sistema de alerta para ferrugem da soja

Beruski et al., 2019 *in process*

Rentabilidade:
Custo de médio de não recuperar
o valor (US\$) usado na aplicação



Can rainfall be a useful
predictor of epidemic risk across
temporal and spatial scales?

Emerson del Peña
Discussions with: Adam Sparks, Nik Curniffe, Larry Madden
Collaboration: Karque Alves, Gustavo Beruski

UFV ICPP BOSTON Plant Health in a Global Economy

So, can rain be useful?

Yes! for some diseases and crop production
situations, é uma variável climática importante que pode predizer epidemias de campo para escala regional.

Meteorologia Agrícola – LEB 360

Sistema de alerta fitossanitário

- Sarna da macieira → *Venturia inaequalis*

• Sistema desenvolvido por Mills (1944)

- Temperatura média no período noturno;
- DPM;
- Presença de ascósporos.



| Temperatura média semanal no período da DPM (°C) | Intensidade da infecção | | |
|--|-------------------------|----------|-------|
| | LEVE | MODERADA | FORTE |
| | DPM (horas/semana) | | |
| 6 | 30 | 40 | 60 |
| 10 | 14 | 19 | 29 |
| 15 | 10 | 13 | 21 |
| 20 | 9 | 12 | 18 |
| 25 | 11 | 14 | 21 |

Prof. Dr. Gustavo C. Beruski

Meteorologia Agrícola – LEB 360

Sistema de alerta fitossanitário

- Podridão parda do pessegueiro - *Monilinia fructicola*;
- Pulverizações preventivas baseadas na fenologia (início e final do florescimento);
- Pulverizações curativas sempre → $T^* DPM > 140$

Sistema é fenológico-climatológico

→ Tabela de Mills

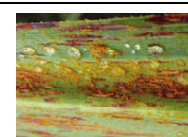
Nível de infecção → Produto - Tmed noturna x DPM

| Nível de infecção | Tmed noturna x DPM |
|-------------------|--------------------|
| Leve | 140 |
| Moderado | 200 |
| Forte | 300 |

Prof. Dr. Gustavo C. Beruski

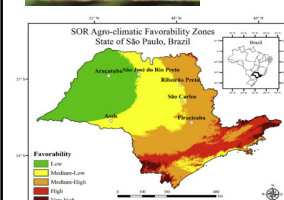
Meteorologia Agrícola – LEB 360

Zoneamento de favorabilidade de ocorrência de doença



- Estreita relação CLIMA vs DOENÇAS.

- Zoneamento de risco climático;
- Favorabilidade climática.



- Áreas com menor risco de epidemias
- Escolha de cultivares em função do risco
- Conhecimento prévio da necessidade de fungicidas

Sentelhas et al. 2015. Agro-climatic favorability zones for sugarcane orange rust as a tool for cultivar choice and disease management

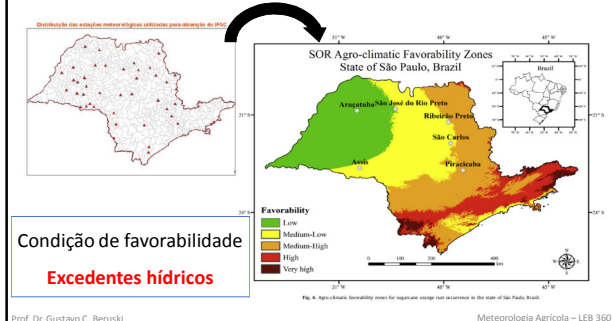
Prof. Dr. Gustavo C. Beruski

Meteorologia Agrícola – LEB 360

Zoneamento de favorabilidade de ocorrência de doença

Sentelhas et al. 2015.

Agro-climatic favorability zones for sugarcane orange rust as a tool for cultivar choice and disease management.

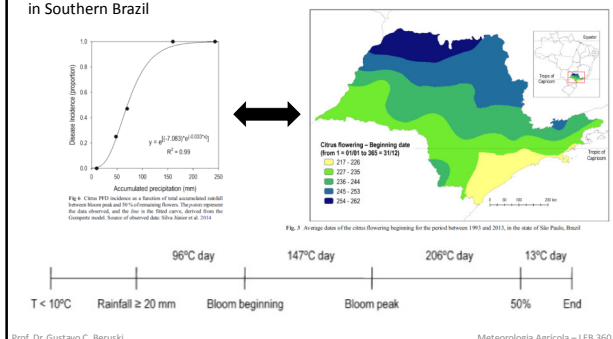


Condição de favorabilidade
Excedentes hídricos

Zoneamento de favorabilidade de ocorrência de doença

Soares-Colletti et al. 2015.

- An agro-climatic approach to determine citrus postbloom fruit drop risk in Southern Brazil



Zoneamento de favorabilidade de ocorrência de doença

Soares-Colletti et al. 2015.

